

III-256 強制置換工法について

日本道路公団 正員 津川 宏
 鹿島建設(株) 石田 達
 " " " 松村 夏樹

1. 序

軟弱地盤改良工法の一つに置換工法がある。ここで我々が取扱う強制置換工法に属する従来の工法では、不必で周辺地盤を乱したり又軟弱工法残留させる可能性が多い。これらはいずれも不等沈下や長期的に亘る劣化の原因となる。特に近接地盤に与える大きな変位は特殊地盤を除いてはほとんど致命的な欠陥となり得る。一方盛土基礎地盤の破壊や沈動を防ぐだけを目的とするなら、基礎地盤すべてを置換する必要はなく、下部的改善すれば十分な場合もある。そこで我々は新しく従来の工法に欠陥を改善し得る強制置換工法を開発し、これを試験施工した。本文はこの試験施工の結果の概要を報告したものである。

2. 施工原理

本工法は強制的に円盤により破壊を生じせしめ、この破壊の回転運動を利用して軟弱上の排除と置換材の充填を同時に行なおうとするものである。破壊の引金として計画通りの受働側にトレーニングを施すその後に置換材による載荷盛土を行なうが、この振削により滑動モーメントの増大とセン断抵抗面の減少による抵抗モーメントの低下が導かれ、破壊に対する安全率はより高めに保たれる。従って溝の掘削、置換材の載荷盛土を順次繰り返すことによって必要な所の地盤改良が出来るというのが本工法の原理である。

3. 試験及び観測法

試験施工の置換工事は40m²で、其の中心に直交する平面上に表-2に示す各観測器を配置した。計測観測の目的は地中及び地表の変形挙動及び、計算予測と実際の通り破壊の比較にある。地中の変形、特に通り面深度の確認のために用いたパイプ歪計は約50%の鋼管及び塗装管との5mmピッチでビズミ測定点が設けられた。ビズミ測定はペーパーゲージによる4ゲージ法である。通り面深度の確認のためさらに切口を入れた塗装管を埋設した。これは通り破壊後に直接、鉄筋体を挿入してセン断面位置を観測する極めて原始的なもので、表-2では通り面確認管と称してある。観測は2時間毎に一度の頻度で行なった。

4. 結果

(破壊形状について) 安定計算では通り破壊形状は半径R=10m程度で中間砂層上端部に接する円盤通りであると予想された。

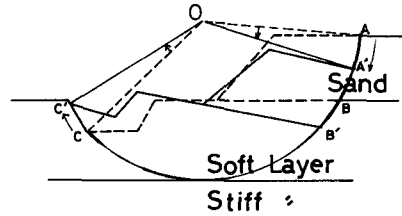


Fig. 1 Illustration of coercive replacement

表-1 観測器一覧表

No.	観測項目	観測器名称	数値 (12)	計測器	観測器記号
1	地表変位 地表面計	変位計 地表面計	3	レベル、テープ 自己チャート	P ₂ ~P ₉ G ₁ ~G ₃
2	地中変位	鋼管パイプ歪計 塗装パイプ歪計	1 3	自己記録計×3 スイッチバシクス×3 ストレインメータ×1	HG
3	通り面深度	通り面確認管	3		S ₁ ~S ₃
4	地下水位	通り面確認管	3	水位計(検流計)×1	S ₁ ~S ₃
5	地 形			レベル、テープ	
6	パイプ歪計部 変位及び傾斜		2	トランシット 傾斜計 スラントルール	K ₁ ~K ₂

* 02は試験開始後に、3本新設したもの。

Tab. 2 Date × Radius of practical failures on the field test

No.	Date	Time	Radius of circle (m)
1	5.50.4.1	11:25	9
2		15:50	9
3	2	15:45	8
4	3	13:50	8
5	3	15:00	10
6	4	12:00	10
7	4	17:00	10
8	5	11:00	—
9	5	—	—
10	7	—	—
11	8	15:15	11
12	8	16:30	13

これを対して実際に完全な置換が完了するまでに生じさせた破壊の回数と推定回転半径を示したのが表-2である。図-2はオ一回目破壊形状をパイア垂計により確認管及び地形測量よりえたものである。破壊形状はほぼ計算予測と一致し、同一面で破壊土壤は回転したと思われる。しかし破壊を繰り返すにつれて徐々に回転半径が大きくなる傾向が見られる。

図示はしないが、パイアに作用する水平地盤反り角は上部腐蝕土層下端を境に反転しており、こり面位置であることが明らかである。その位置はこり面確認管で測定された値と一致する。又、トレーニングの田面側近くに埋設された確認管は破壊されておらず、こり面はトレーニング外には及んでいなかった。

(近接地盤への影響)トレーニング田面側上端部よりおおよそ4.7mに亘り配置された変位杭の観測結果からは、大きさを変動日トレーニングから8m程度であり、20mを超えると影響は微弱なものと判断できる。しかし測量誤差程度の変動となるのは30m以上となり遠方まで影響が及んでいる。各変位杭は作業内容に応じて順当な動きを示している。近接地盤に及ぼす影響は置換破壊そのものよりもトレーニングによる方が大きいことが明らかでありこれは、逆に盛土破壊の影響伝播に対するトレーニングの遮断効果を示すものと解釈される。パイア垂計による地中変位状況の解析例を図-5に示す。これはオ一回目破壊直前のものであり、主な地中変位は上部腐蝕土層中で生じており、盛土上にクラックが発生し視覚的にこり破壊が捉え得る以前にパイア頭部の水平変位は30cmを超えた事実は注目に値する。本文には図示されていないが、トレーニング田面側に近接して(約2.5m)埋設された塩ビパイア垂計(H-1)は第1回目トレーニング前では盛土側にたわみ、最初の破壊により逆に押し戻されていたが、この挙動は変位杭と同じ傾向である。変形量日数10cmと鋼管垂計を上まわる値が観測されたが、その方向から判断してこり線がトレーニング外側に及んでいなか、それは明らかである。塩ビパイア垂計は他に盛土の反対側法尻部と盛土中央部で試験位置より約2.5m離れた所に埋設されたが、地中の変位はほとんど観測されなかつた。以上の全般的なパイア垂計の解析から、強制置換作業による地中変動は少なくとも破壊の土壤のこり出し方向以外にはほぼ無視し得るものと結論される。

4. 終りに

本報文は試験工事結果の一部のみを述べたものであるが、いずれフルペーパーの形で発表を予定しているので興味を持かれた方はそれを参考にして頂けたい。最後に本試験に協力頂いたセントラルコンサルタント(株)の齊藤一男氏に感謝するものである。

(正在参考文献)山口 ；パイアひずみ計により地すべり土壤の変形の姿を求める方法について、VOL.4 1974 No.26

Fig. 2 Shape of the 1st failure

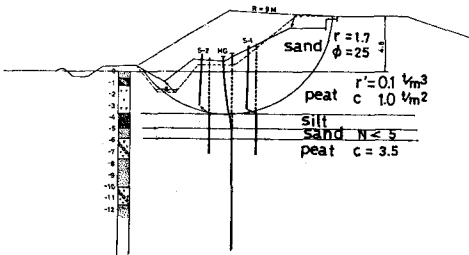


Fig. 3 Displacement of Ground surface near the trench

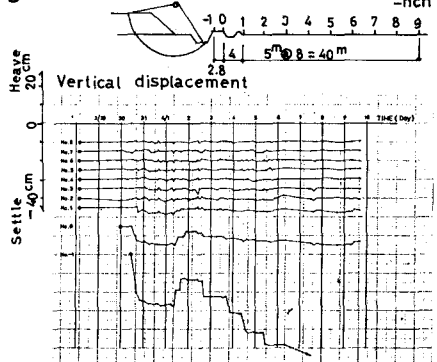


Fig. 4 Horizontal displacement

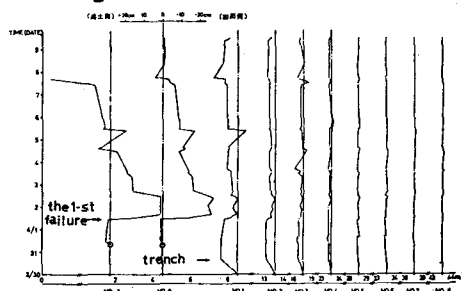


Fig. 5 Pipe deflection curve (HG)

